

大阪工業大学 正員 川島 善
大阪工業大学 正員 ○高田 崑

1. まえがき

従来、汚泥処理における汚泥脱水には、真空ろ過法、遠心脱水法、加压ろ過法などがあり、この中で、真空ろ過法は、汚泥のろ過、汚泥ケーキの採取、排出の操作が連続的、かつ自動的に行なうことから広く用いられてきている。これに反して加压ろ過法は、汚泥ケーキの含水率が極めて低くなるといわれているが、不連続操作でかつ人手を必要とすることが欠点とされてきている。最近これらの操作が自動化されたものが製作されるようになった。

われわれは、これらをもとに着目し、プレスフィルターによる下水生活泥のろ過実験を行い、その際、ろ過の主要因子と考えられる、汚泥のPH、助剤注入率、およびろ過圧力、など種々変化させ、脱水方式としてとりあげた、汚泥処理能力と、これらの因子との関係を実験的に追及した。

2. 実験装置と方法

(1) 試料汚泥

試料汚泥は、大阪市中洲下水処理場より採取した生活泥を用い、大形夾雜物の除去のため3(mm)の篩で篩別し試料汚泥とした。なお汚泥1lにつき5(CC)のホルマリンを注入し汚泥の変質を防止した。

(2) ろ過機

実験に使用したプレスフィルターの仕様は次のとおりである

a) ろ過機

型式：複式ポリエチレン製コーナーフィード型 室巾：1.5 (cm)

外寸：8" x 8" 1室 容積：0.375 (l)

ろ過面積：1室につき 0.0507 (m^2)

b) 加压方式

圧縮空気による圧入法

c) ろ布

クレハロン KU #312 織目 58 x 32 x 900/2 x 900/3

(3) 実験方法

実験用プレスフィルターのフロー・シートを図-1に示す。

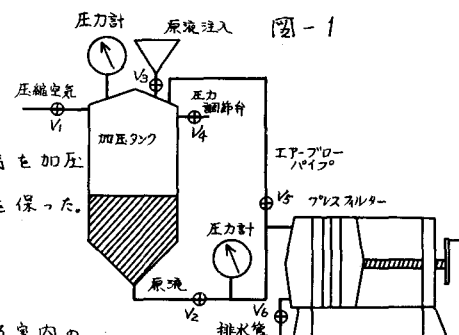
a) ろ過試験

加压タンク内に試料汚泥を入れ、V₁バルブを開き圧縮空気を加压槽に導き、V₄の圧力調節バルブを操作しながら所定の圧力を保った。ろ液はV₆より採取しろ過時間とろ流量の関係を求めた。

b) 汚泥試験

加压前后において、汚泥の含水率を測定した。ろ過後のろ室の

汚泥ケーキの含水率の分布状態に差異を生じたので、ろ室対角線上に3箇所を取り、平均含水率を求めた。

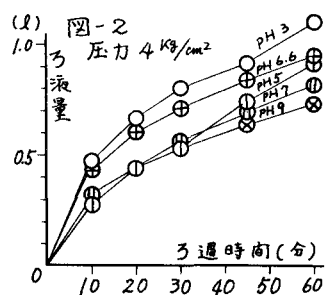


C) 水負試驗

3液について、蒸発残留物重量、pH、COD、粘性係数の測定を行った。

(4) 試料汚泥分析表

项目	污泥名	A	B	C	D	E
含水率(%)	95.62	95.96	94.68	94.98	95.13	
固形物重量(%)	4.38	4.04	5.32	4.68	4.35	
热灼减量 (%)	65.3	64.9	64.6	64.9	64.8	
热灼残量 (%)	34.7	35.1	35.4	35.1	35.2	
单位重量 (g/m³)	1.016	1.015	1.018	1.018	1.015	
COD (ppm)	5577	5513	6132	5813	5584	



3 実験結果と考察

(1) 汚泥 pH の変遷における影響

凍結融解処理後の汚泥について、貯留3週を行った場合、汚泥のPHは3週性状に著しい影響を与えることが報告されている。そこでプレスフィルターを用いて、下水生汚泥のPHを変化させ汚泥PHが3週性状に及ぼす影響について検討した。なおPHの調節には硫酸および苛性ソーダ¹⁾を用い、PHを3~9の5種、3週圧力を4(kg/cm^2)および6(kg/cm^2)とした。

実験の結果、積算流量 - 過時間の関係を図-2に示す。

凍結融解処理後の汚泥の真空ろ過の場合、汚泥のPHが酸性で低い程脱水性は著しく向上したと報告したが、プレスフィルターにおいても同様の傾向を示し、PH3の場合最も脱水性が向上し、PHが高くなるにつれて脱水性が減少した。脱水性の式標準として取りあげた汚泥処理能力を下式のように定義した。

$$S = \frac{W}{A} \left(1 - \frac{P_1}{100}\right) \left(1 - \frac{P_2}{100}\right)$$

S = 污泥处理能力 ($\text{kgDS}/\text{m}^2 \cdot \text{hr}$)

$$W = \text{3 室内} \times \text{1 千重量 (kg/hr)} \quad A = \text{3 遍面積 (m}^2\text{)}$$

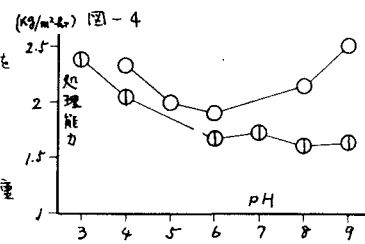
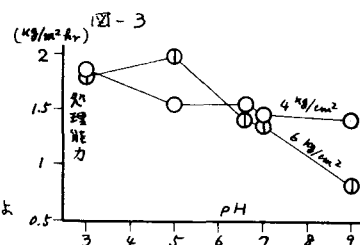
$$P_1 = \gamma - \kappa \text{含水率} (\%)$$

P_2 = 助劑注入率 (%)

上式を用ひて汚泥処理能力を計算し結果を図示すれば図-3のようになる。汚泥処理能力についてみると図-3よりわかるように、
 う過圧力 $4(\text{kg}/\text{m}^2)$ で $1.93 \sim 1.42(\text{kg}/\text{m}^2\text{-hr})$ 、 $6(\text{kg}/\text{m}^2)$ で $1.99 \sim 0.82(\text{kg}/\text{m}^2\text{-hr})$ となり、順次 pHが高くな
 るにつれて汚泥処理能力が低下したが大差はみられなかつた。

(2) 污泥 pH の 3 温に及ぼす影響 (3 温助剤を併用した場合) (kg/m³hr) 図-4

ろ過助剤として消石灰を用い、PH調節を行った場合の実験結果を図-4に示す。図中○印は助剤注入後PH調節を行った場合を示し、①印はPH調節後助剤を注入した場合で、△印は汚泥処理能力と、汚泥PHの関係を示した。なお消石灰の注入率は、汚泥乾燥固形物重量比 10(%) とし、ろ過圧力は 4(kg/cm²)とした。



助剤注入後 pH 調節を行った場合、処理能力は 1.90 ~ 2.52 ($\text{kg/m}^3\text{hr}$) となり、酸性、アルカリ性の両領域

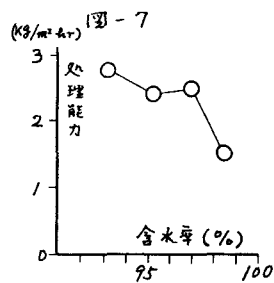
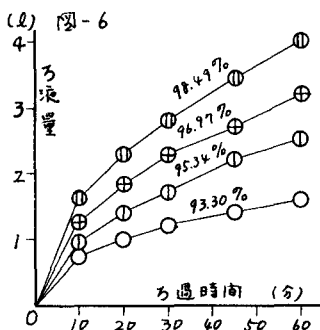
においてわざかであるが脱水性の向上が認められた。中性領域においては、消石灰と硫酸により汚泥中に硫酸カルシームを生じるが、この硫酸カルシームは比較的にろ過助剤の働きをしないものと思われる。これに反して、PH調節を行った後消石灰を注入した場合、処理能力は $2.42 \sim 1.63 (\text{kg}/\text{m}^2\cdot\text{hr})$ となり、PHの高くなるにつれ処理能力の低下が認められた。

(3) 消石灰の注入率のろ過におよぼす影響

消石灰をろ過助剤として、汚泥乾燥固体物重量当り 5, 10, 15, 20 % 注入し、それぞれPHを 3, 7, および無調節の場合について、ろ過圧力 $4 (\text{kg}/\text{cm}^2)$ として脱水実験を行った。実験の結果、汚泥処理能力と消石灰注入率との関係を図-5 に示した。図-5 によれば、PH 3 で注入率 15(%) の場合をのぞき、汚泥PHの如何にかかわらず、消石灰の注入率の増加にしたがい処理能力の増進がみられ、特にPH調節をしない場合 15% 以上の注入率で急激に汚泥処理能力の増大が認められた。

(4) 初期汚泥含水率のろ過におよぼす影響

初期含水率とろ過性状を見るために、汚泥の初期含水率を $93.3 \sim 98.49 (\%)$ の範囲で 4 種の汚泥



を用い、ろ過圧力 $4 (\text{kg}/\text{cm}^2)$ の場合について脱水実験を行った。なお消石灰注入率は 10(%) とした含水率の調節は水通水を用いた。

実験の結果、積算ろ流量とろ過時間の関係を図-6 に、汚泥処理能力と初期含水率との関係を図-7 に示した。

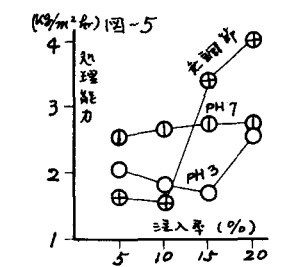
図-6 によれば、1 時間後のろ流量は、初期含水率 93.3(%) で $1.61 (\text{l})$ に対して、初期含水率 $98.49 (\%)$ で $4.01 (\text{l})$ となり、初期含水率が高くなる程ろ流量が多くなる。一方汚泥処理能力について比較すれば図-7 のようになり、初期含水率が高くなれば汚泥処理能力が低下する傾向を示す。このことから初期含水率はできるだけ下げてブイレターブレスする方が効果的であると考えられるが、最初沈殿池の汚泥の含水率は、ほぼ $96 \sim 98 (\%)$ の位であり、濃縮するため特に汚泥濃縮槽が必要とするなどとならずれば、特に効果的であると思われない。

(5) ろ過圧力のろ過におよぼす影響。(圧力ろ過)

ろ過圧力を $2 \sim 6 (\text{kg}/\text{cm}^2)$ の範囲で 4 種の圧力について脱水実験を行ひ、ろ過圧力とろ過性状との関係を見出した。

実験の結果、汚泥処理能力とろ過圧力の関係を図-8 に示した。なお助剤には消石灰を用い、注入率は 10(%) とした。

図-8 によれば、ろ過圧力が高くなるにつれろ流量が多くなる傾向を示し、その結果汚泥ドーキの含水率を $77.3 \sim 68.9 (\%)$ となり、順次機歩子の傾向を示した。そのため、汚泥処理能力も圧力が高く



なる程大きくなることが認められた。しかしながら圧力の増加する割合に比して比較的汚泥処理能力の増進は少なかった。

(6) 3過圧力の3過におよぼす影響 (重圧3過)

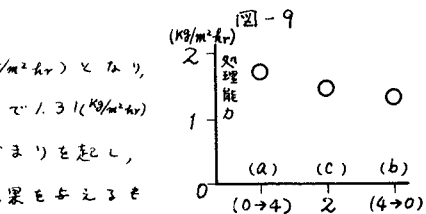
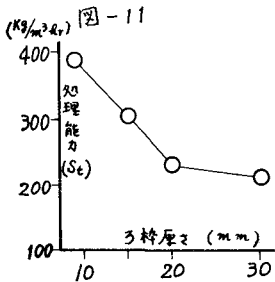
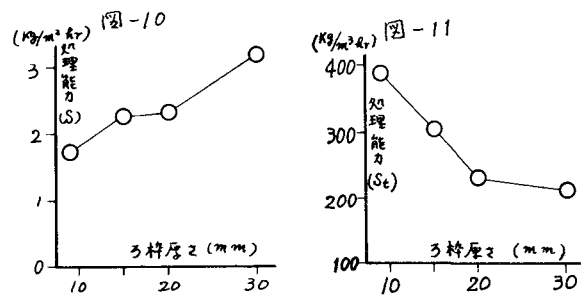
3過圧力を、 a) 3過時間 / 時間の間に 0 (kg/cm^2) から 4 (kg/cm^2) まで 5 分間おきに順次上げた場合、 b) 4 (kg/cm^2) から 0 (kg/cm^2) まで順次下げた場合、および、 c) 平均圧力として 2 (kg/cm^2) に定圧にした場合の3種の場合について実験を行った結果、汚泥処理能力とこれら

の関係を図-9に示した。

図-9によれば、 a) の場合最も処理能力が高く $1.71 (\text{kg}/\text{m}^2 \cdot \text{hr})$ となり、 c) で $1.44 (\text{kg}/\text{m}^2 \cdot \text{hr})$ 、最も処理能力の低い場合は b) の場合で $1.31 (\text{kg}/\text{m}^2 \cdot \text{hr})$ となつた。このことから急激な加圧は、ろ布面部分の固まりを起し、加圧の際の操作としては、圧力漸増の方が汚泥脱水に結果をもたらすよりのようである。

(7) 3棒の厚さが3過におよぼす影響

3棒の厚さを 9, 15, 20, 30 (mm) の 4 種の 3棒を用いて、3過圧力 4 (kg/cm^2)、消石灰注入率 10 (%) の場合について脱水実験を行い、汚泥処理能力と3棒厚さの関係を図-10に示す。



そこで、汚泥の処理能力を3室単位容積当たりの乾燥固体物生産量と定義すれば下式のようになる。

$$S_t = \frac{W}{t} = \frac{W}{A t} \left(1 - \frac{P_1}{100}\right) \left(1 - \frac{P_2}{100}\right)$$

ここで $t = 3$ 棒厚さ (m)

上式より汚泥処理能力 S_t を計算すれば、図-11のようになる。図-11によれば、3棒厚さが大きくなるにつれ処理能力 S_t は低下する傾向を示した。

(8) 3液の水質試験結果

名々の條件のもとでプレスフィルターによる下水生汚泥の脱水実験を行ったが、それらの3液の水質には大差はなく下表に示す値であった。

項目	プレスフィルター	オリバー・フィルター
CO D. (ppm)	1,100 ~ 1,600	4,000
基質残留物 (ppm)	1.40 ~ 2.42	2.73
濁 視 度 (度)	25 以上	25

オリバー・フィルターによる3液に比べ
プレスフィルターの場合比較的良好な水質
がえられることがわかった。